

FIG. 1

FIG. 2

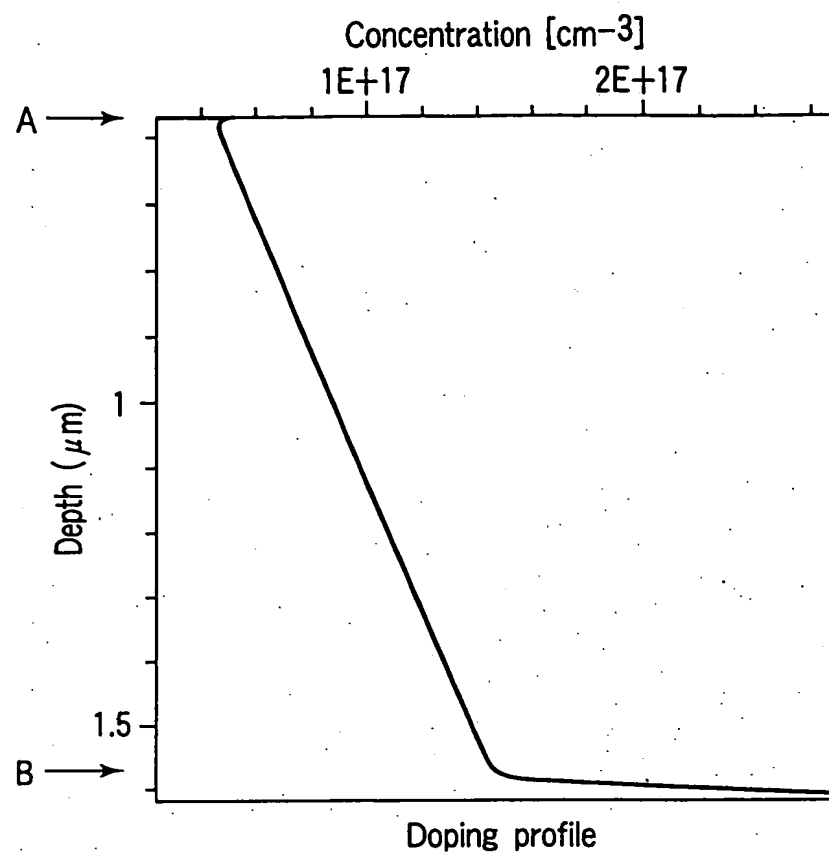
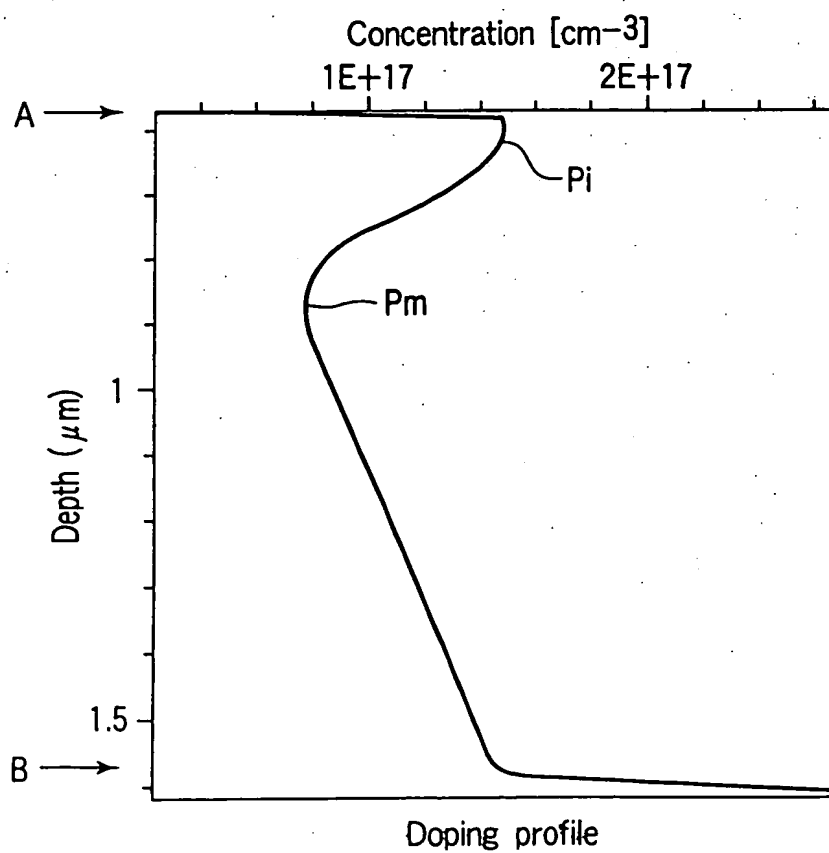


FIG. 4



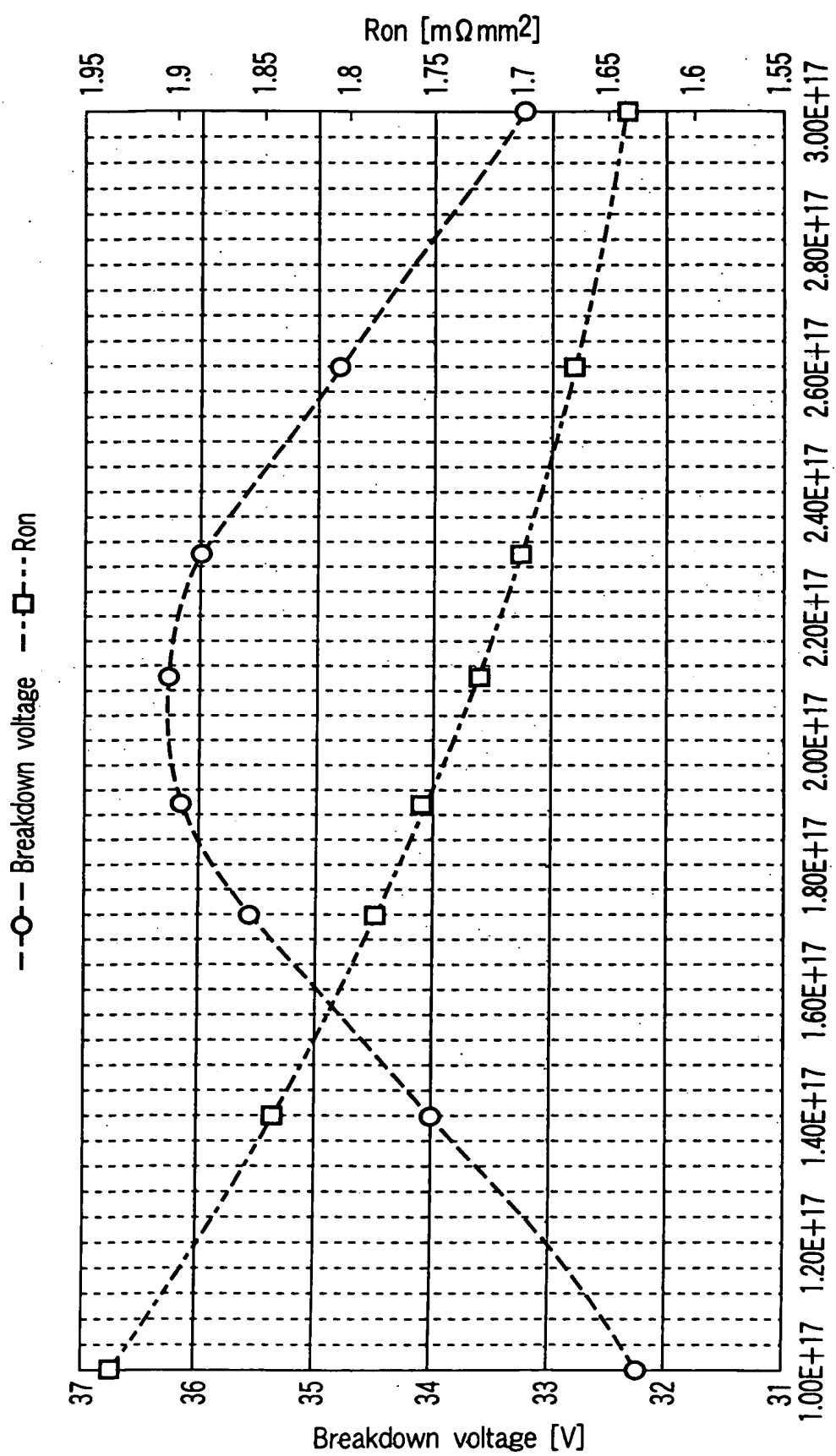


FIG. 3

Doping concentration at the end B of n-drift layer

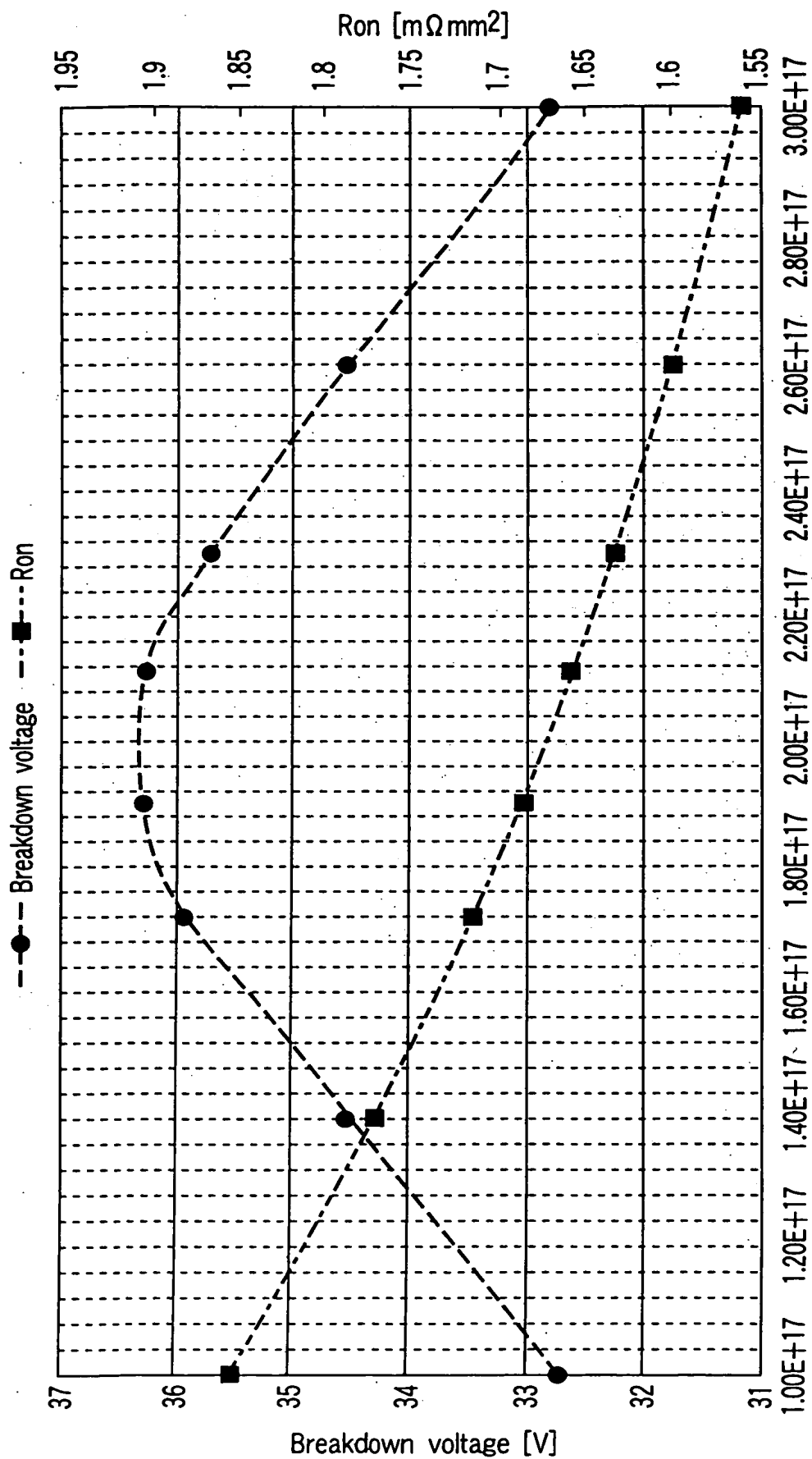


FIG. 5

FIG. 6

Drain layer 12 ← → Drift layer 8

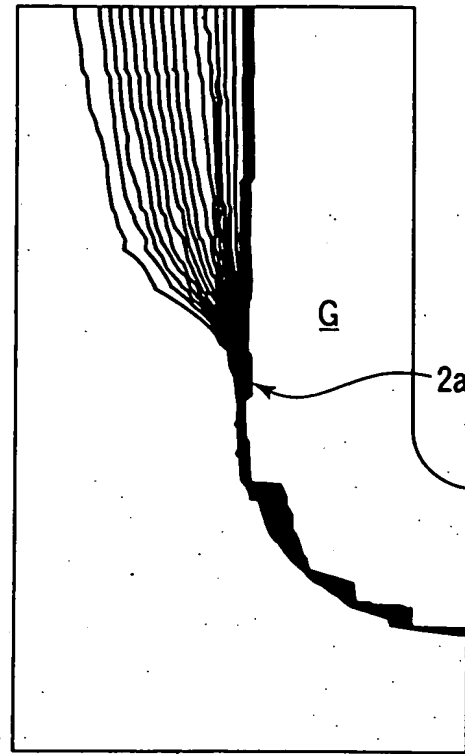


FIG. 7

Drain layer ← → Drift layer

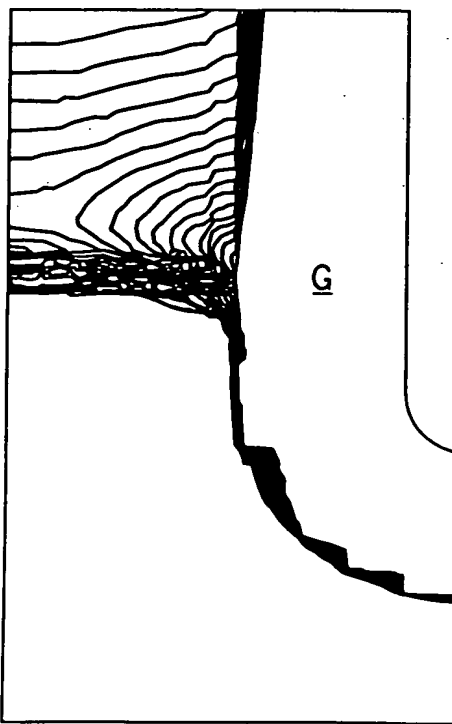


FIG. 8A

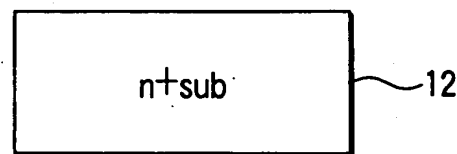


FIG. 8B

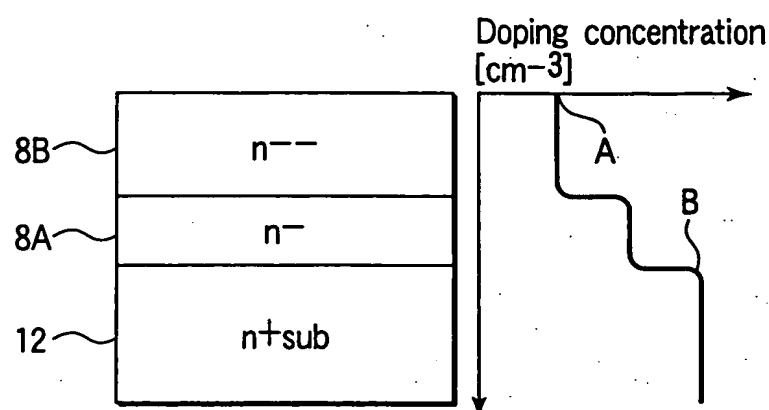
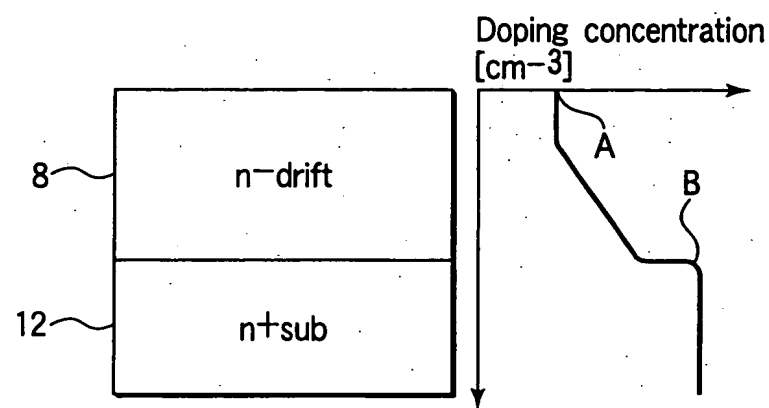


FIG. 8C



N-type impurity implantation

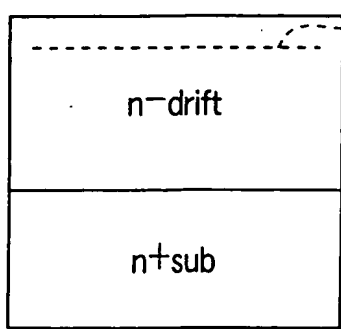


FIG. 8D

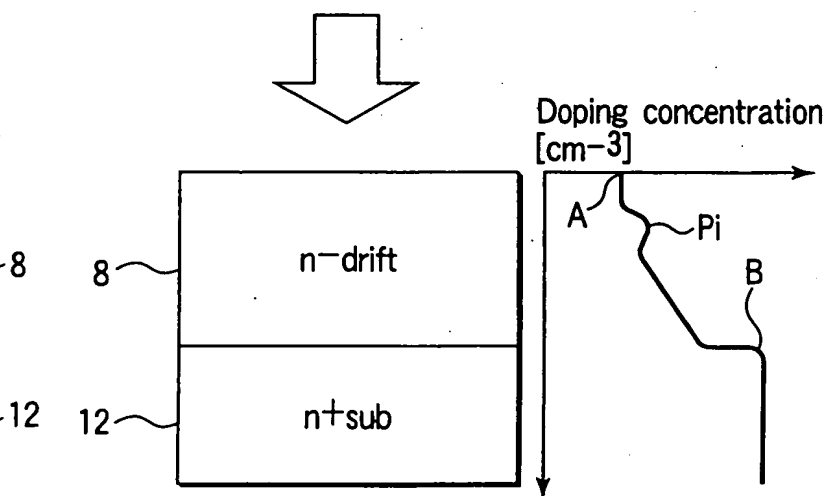


FIG. 8E

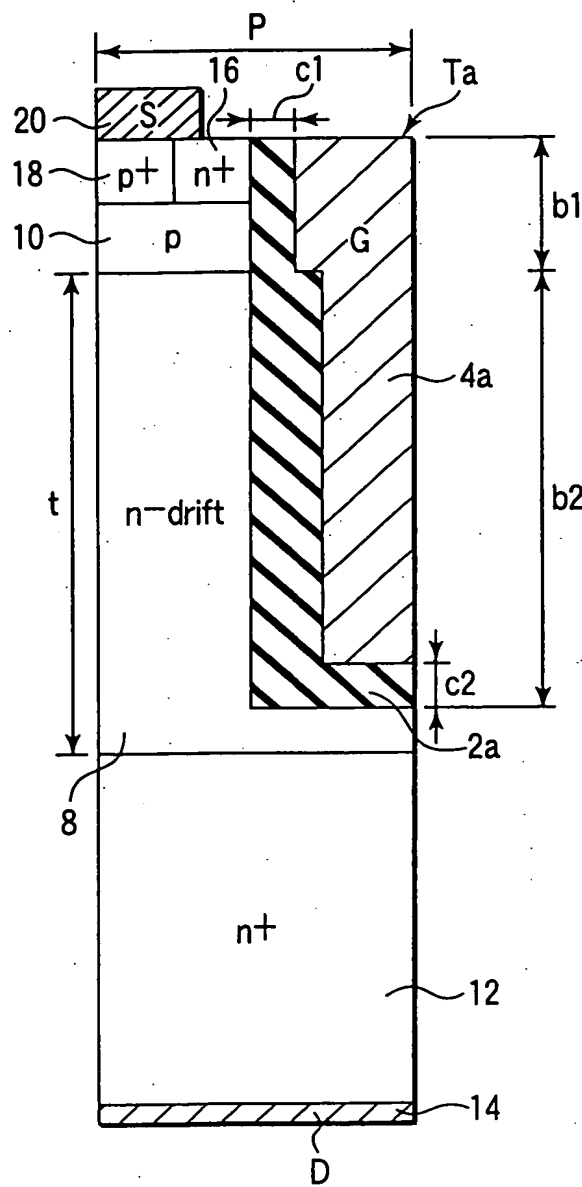


FIG. 9

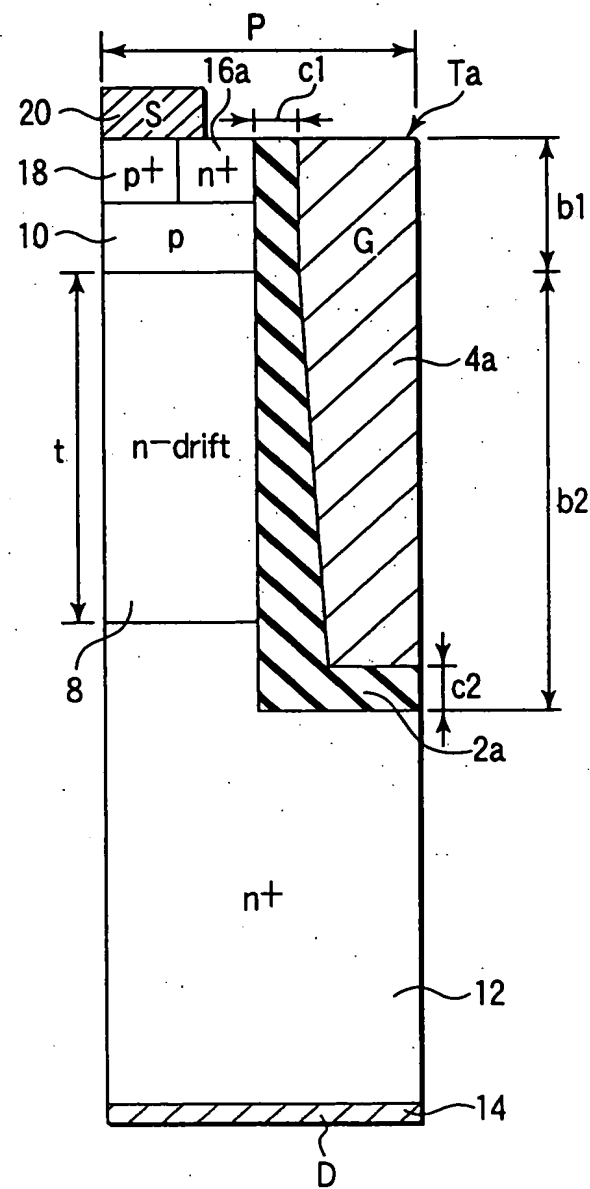


FIG. 10

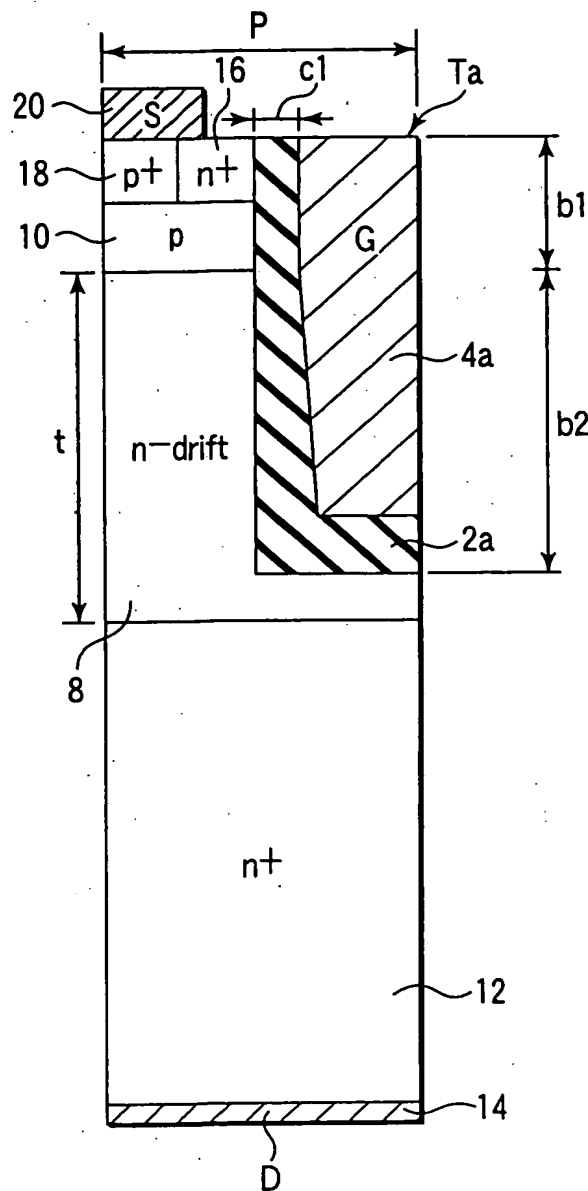


FIG. 11

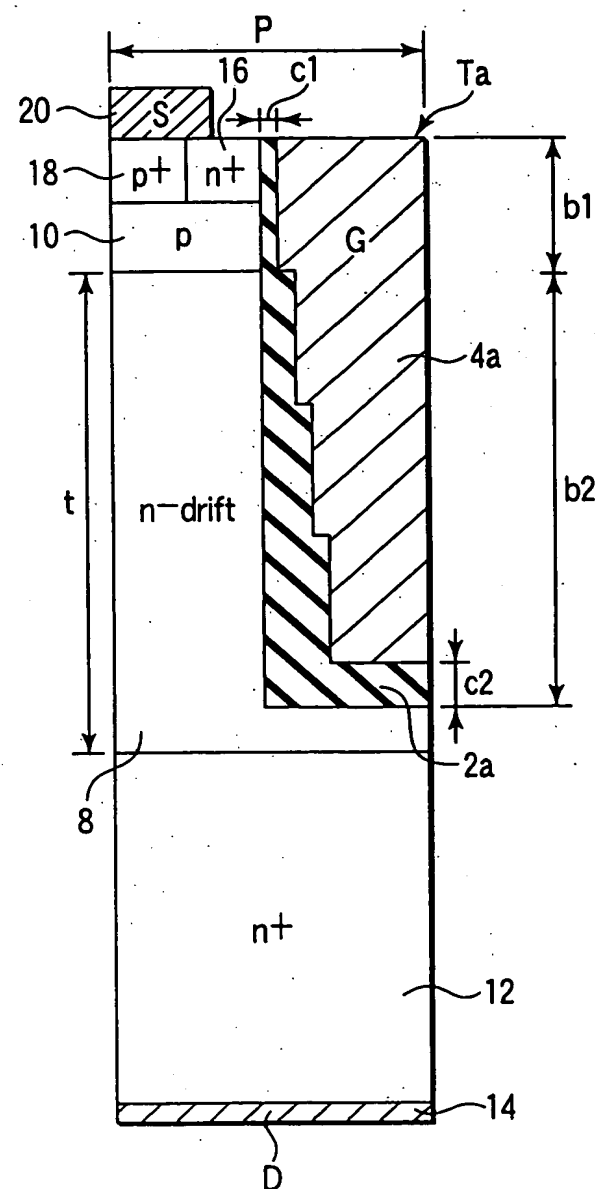


FIG. 12

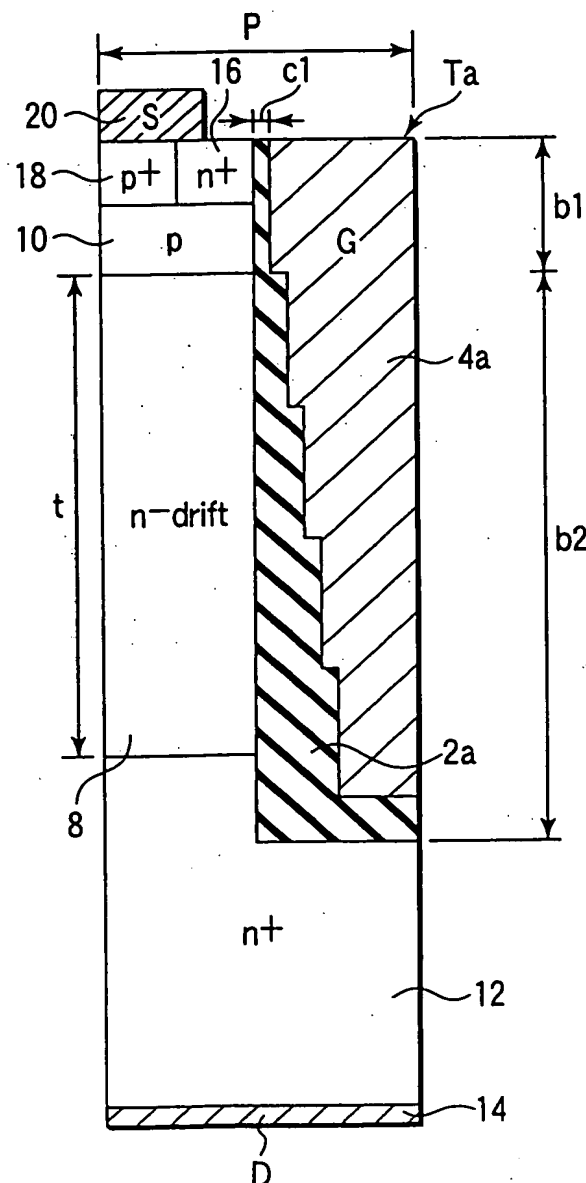


FIG. 13

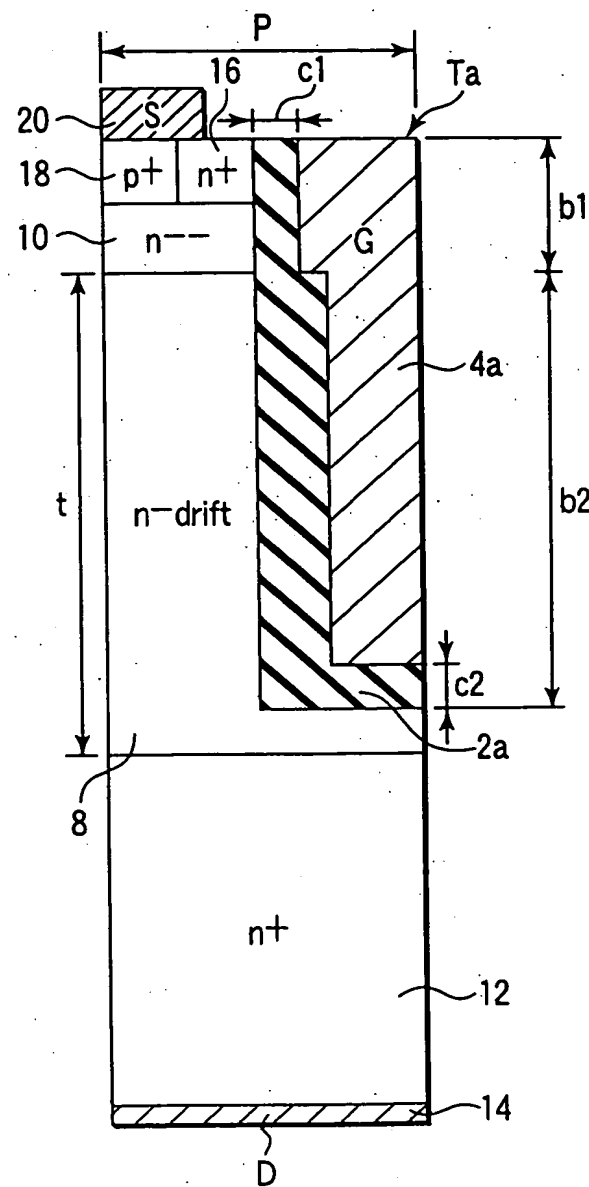


FIG. 15

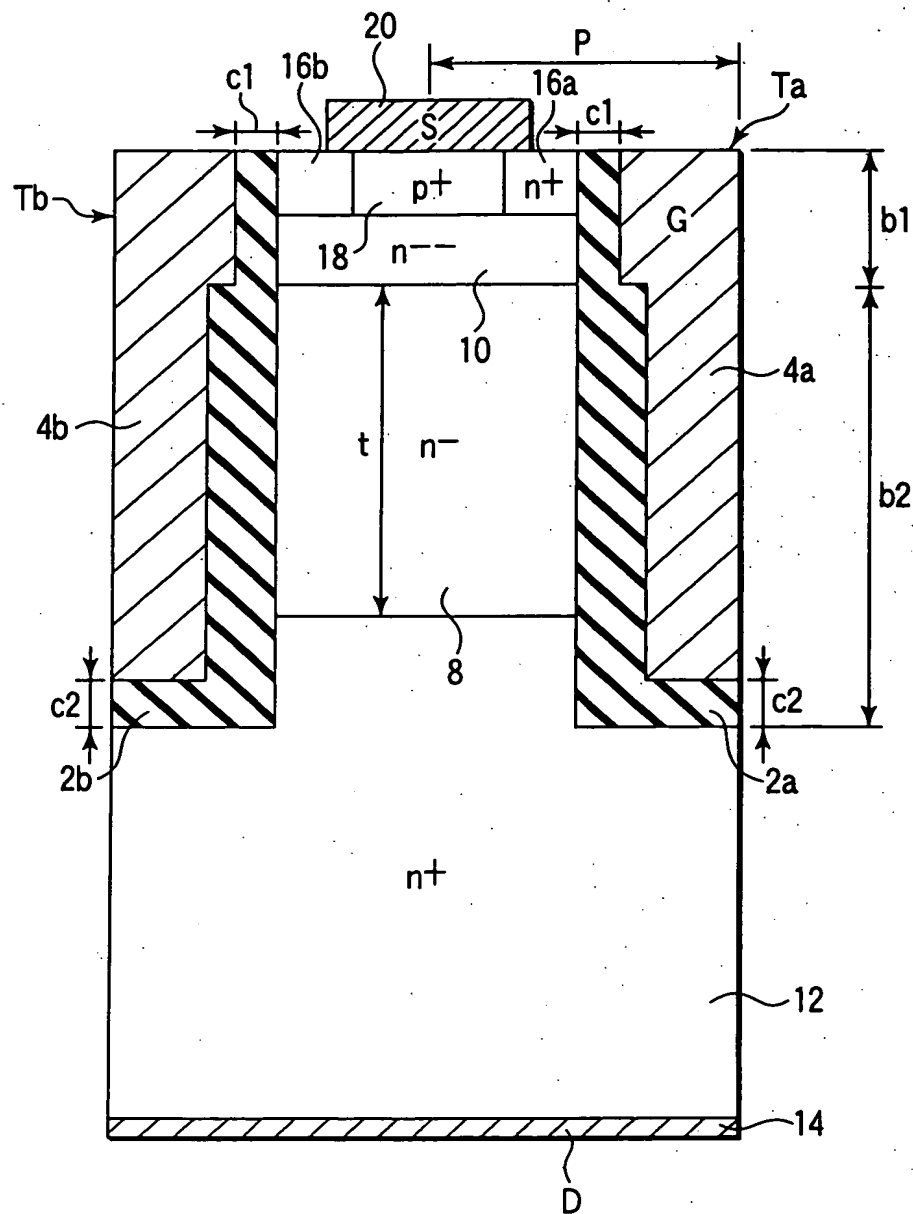


FIG. 14

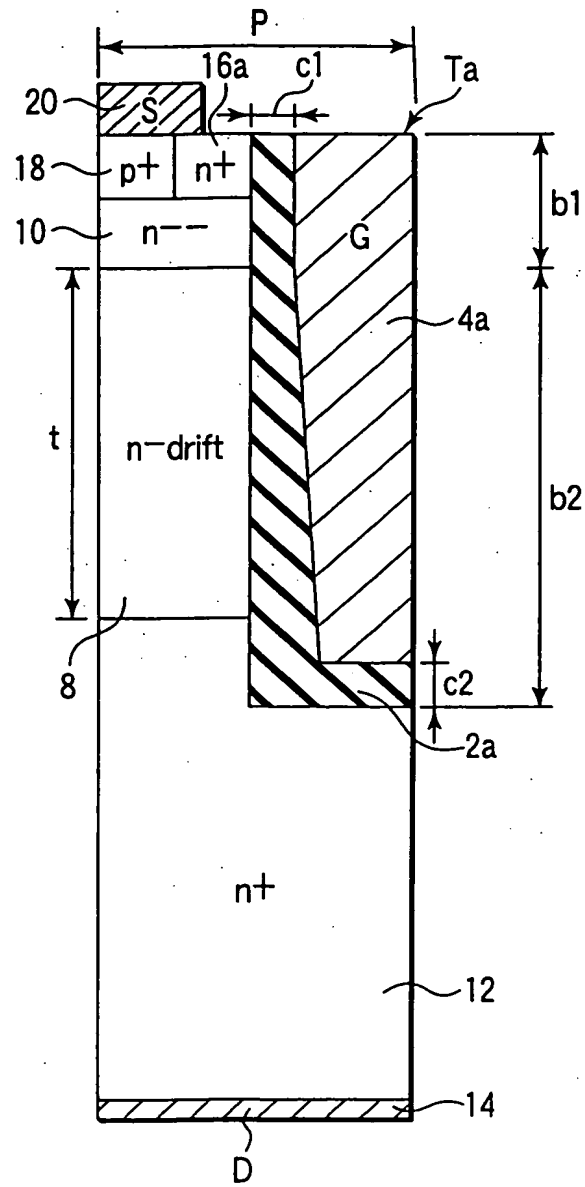


FIG. 16

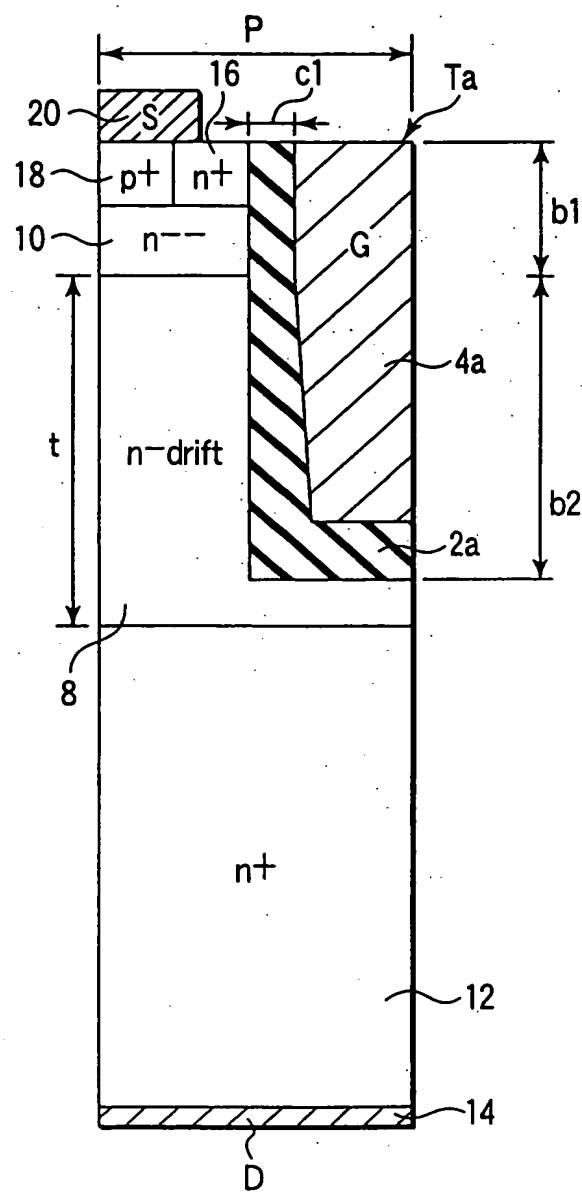


FIG. 17

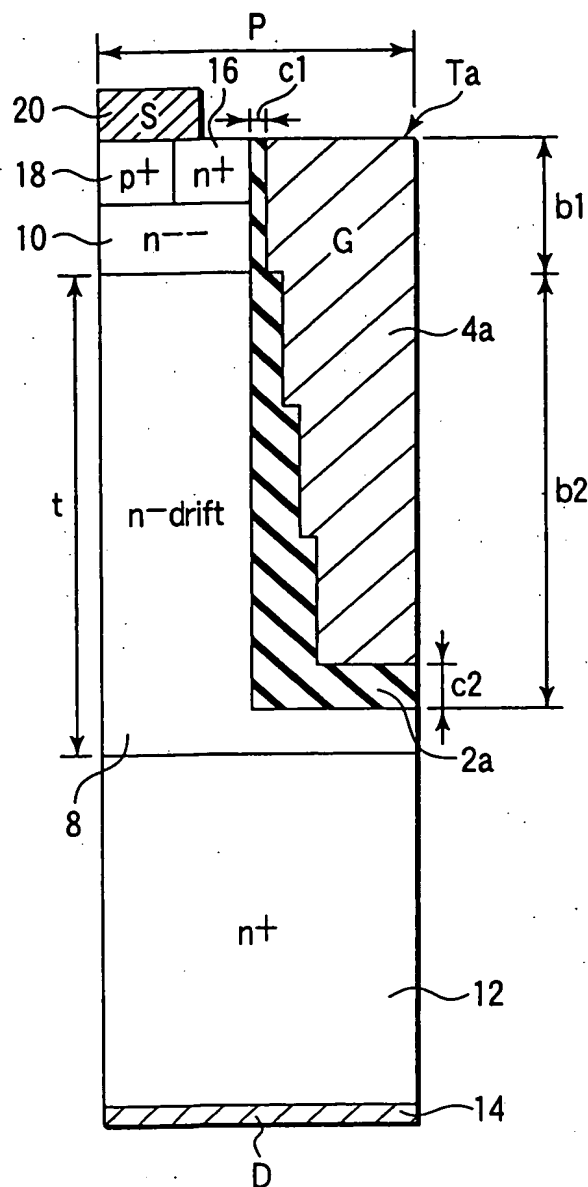


FIG. 18

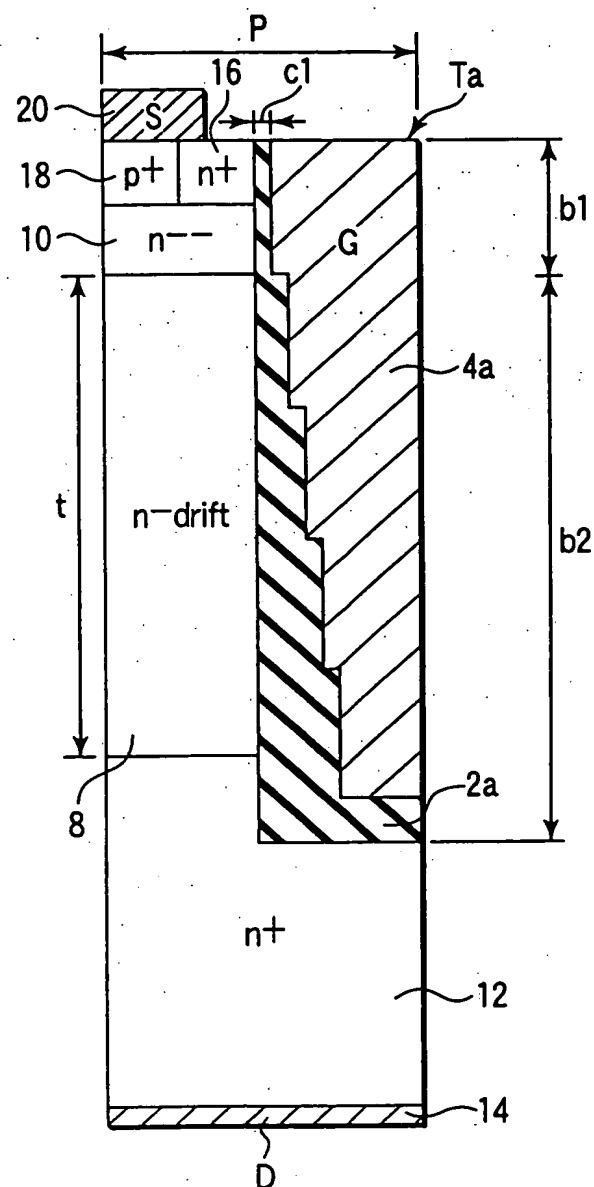


FIG. 19

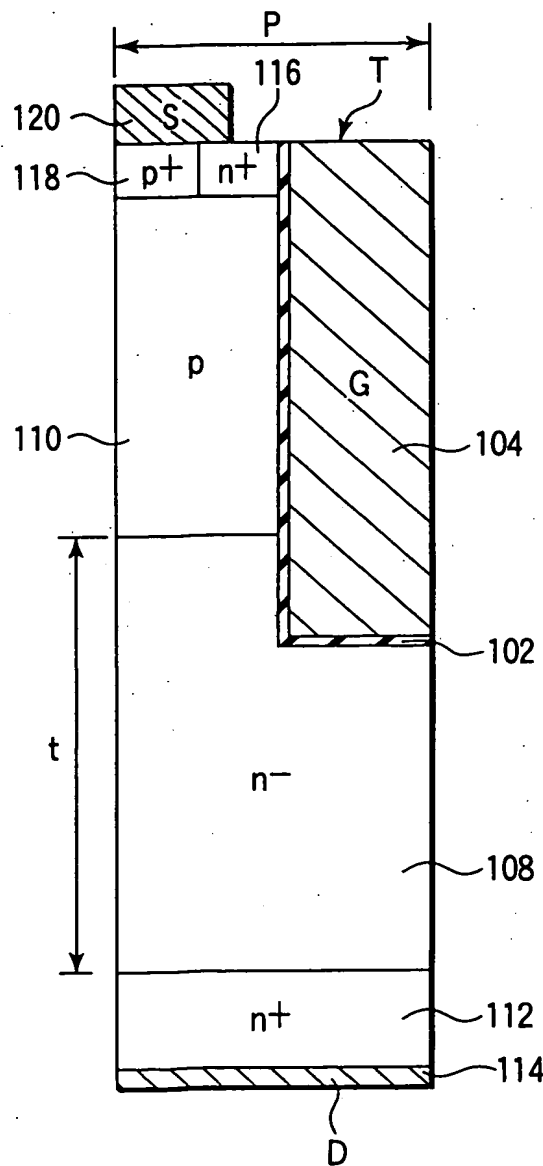


FIG. 20

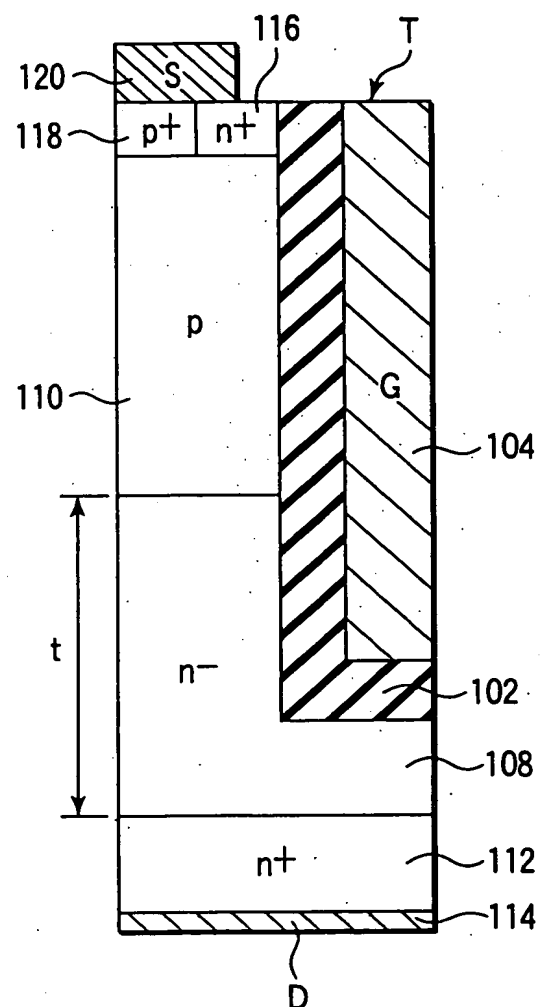


FIG. 21